

Wiener Index of Transformation Graph G^{--}

Yanhua Zhao

College of Mathematics and System Science, Xinjiang University, Urumqi Xinjiang
Email: yhua030@163.com

Received: Apr. 3rd, 2019; accepted: Apr. 18th, 2019; published: Apr. 25th, 2019

Abstract

The transformation graph G^{--} of a graph G is the graph with vertex set $V(G) \cup E(G)$, in which two vertices u and v are joined by an edge if one of the following conditions holds: 1) $u, v \in V(G)$ and they are not adjacent in G , 2) $u, v \in E(G)$ and they are not adjacent in G , 3) one of u and v is in $V(G)$ while the other is in $E(G)$, and they are not incident in G . The Wiener index $W(G)$ of G is the sum of the distances between all pairs of vertices in G . In this note, for any graph G , we determine the Wiener index of G^{--} , when G^{--} is connected.

Keywords

Transformation Graph, Wiener Index

变换图 G^{--} 的 Wiener 指标

赵艳华

新疆大学, 数学与系统科学学院, 新疆 乌鲁木齐
Email: yhua030@163.com

收稿日期: 2019年4月3日; 录用日期: 2019年4月18日; 发布日期: 2019年4月25日

摘要

图 G 的变换图 G^{--} 的顶点集为 $V(G) \cup E(G)$, 图 G^{--} 中任意两顶点 $u, v \in V(G^{--})$ 只需满足下面任意一个条件便可以连边: 1) $u, v \in V(G)$, 它们在图 G 中不相邻, 2) $u, v \in E(G)$, 它们在图 G 中不相邻, 3) $u \in V(G)$, $v \in E(G)$, 它们在图 G 中不关联。图 G 的 Wiener 指标是图 G 中所有点对的距离之和。在本文中, 我们确定了变换图 G^{--} 是连通图时的 Wiener 指标。

关键词

变换图, Wiener指标

Copyright © 2019 by author and Hans Publishers Inc.

This work is licensed under the Creative Commons Attribution International License (CC BY).

<http://creativecommons.org/licenses/by/4.0/>



Open Access

1. 引言

本篇文章中所有的图都为无向的简单图。所用到的符号和术语参考文献[1]。设简单图 G 的顶点集为 $V(G)$, 图 G 的边集为 $E(G)$ 。对于 $V(G)$ 中的任意顶点 v , 我们记 $N_G(v)$ 为图 G 中所有和顶点 v 相邻的顶点的集合。称 $d_G(v) = |N_G(v)|$ 为顶点 v 的度数。

在一个连通图 G 中, 用 $d_G(u, v)$ 表示 G 中任意两个顶点 u 和 v 之间的距离(两点之间最短路的长度), 图 G 的 Wiener 指标是指图 G 中所有顶点对的距离之和, 即 $W(G) = \sum_{u, v \in V(G)} d_G(u, v)$ 。在不引起歧义的情况下, 我们把 $d_G(v)$, $d_G(u, v)$ 分别简记为 $d(v)$, $d(u, v)$ 。

这个概念最初是由 Harry Wiener 在 1947 年的文献[2]中提到的, 之后作为一个重要的拓扑指标应用于化学研究中, 用来研究分子的结构。后来 Entringer 等人在 1976 年文献[3]中首次引入到数学领域, 引起许多数学家的兴趣。关于一些 Wiener 指标的化学应用和数学研究的调查可以参考文献[4]以及其中引用的参考资料。

吴和孟在文献[5]中给出了全变换图的基本性质。我们可以在文献[6] [7] [8]中查阅到变换图的更多结果。

在本文中, 我们将根据吴和孟的结果确定连通的变换图 G^{--} 的 Wiener 指标。

2. 主要内容

2.1. 预备知识

在文献[5]中吴和孟给出了下面的结果。

定理 2.1.1: [5] 如果图 G 既不是星图也不是三角形, 则 $\text{diam}(G^{--}) \leq 3$ 。

当图 G 是星图或者是三角形的时候, 图 G^{--} 是不连通的。由定理 2.1.1 的证明过程可知, 当 $u, v \in V(G)$ 时, $d(u, v) \leq 3$; 当 $u, v \in E(G)$ 时, $d(u, v) \leq 2$; 当 $u \in V(G), v \in E(G)$ 时, $d(u, v) \leq 3$ 。而且当 $\text{diam}(G^{--}) = 3$, 我们有图 G 的结构(如图 1 所示)。

如图 1(1)中, 在其变换图中距离是 3 的顶点对为 u, v ; 如图 1(2)中, 在其变换图中距离是 3 的顶点对为 u, v 、 u, w 、 u, uv 及 u, uv ; 如图 1(3)中, 在其变换图中距离是 3 的顶点对为 u, v 、 u, uv ; 如图 1(4)中, 在其变换图中距离是 3 的顶点对为 u, v 、 u, uv 及 v, vu 。

在本文, 我们主要根据上面直径求变换图 G^{--} 的 Wiener 指标。

2.2. 直径小于等于 2

当顶点 u 和边 e 关联时, 我们记为 $m_{ue} = 1$, 当边 e, f 相邻时记为 $m_{ef} = 1$ 。否则, 我们分别记为 $m_{uv} = 0$, $m_{ef} = 0$ 。

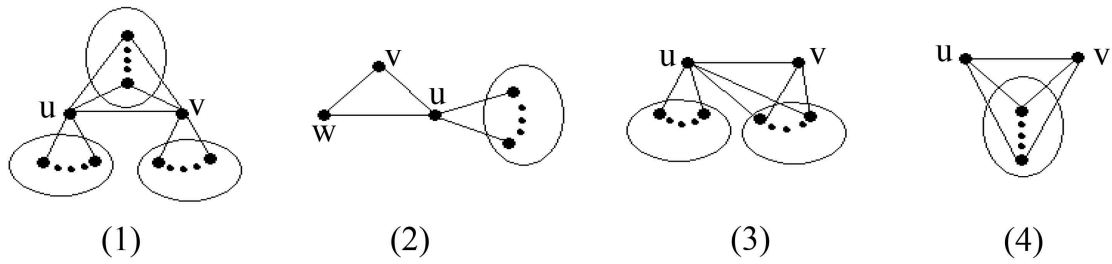


Figure 1. $\text{diam}(G^{--})=3$

图 1. $\text{diam}(G^{--})=3$

定理 2.2.1: 如果图 G 的顶点的阶数为 n , 边的阶数为 m , 且 $\text{diam}(G^{--}) \leq 2$, 则

$$W(G^{--}) = \frac{1}{2} \left(m^2 + n^2 + \sum_{v \in V(G)} d_G^2(v) \right) + mn + \frac{3}{2}m - \frac{1}{2}n.$$

证明: 记 u, v 为图 G 中任意两个顶点, e, f 为图 G 中任意两条边, $V(G^{--}) = \{u_1, u_2, \dots, u_{m+n}\}$ 。在图 G 相邻边的个数为 $\sum_{v \in V(G)} \binom{d_G(v)}{2}$, 又因为 $\text{diam}(G^{--}) \leq 2$, 所以对于任意的点 $u_1, u_2 \in V(G^{--})$, u_1 和 u_2 之间的距离为 1 或 2。因此, 由 Wiener 指标的定义可知:

$$\begin{aligned} W(G^{--}) &= \sum_{u,v} d_{G^{--}}(u,v) + \sum_{u,e} d_{G^{--}}(u,e) + \sum_{e,f} d_{G^{--}}(e,f) \\ &= \left(\sum_{uv \in E(G)} d_{G^{--}}(u,v) + \sum_{uv \in E(G)} d_{G^{--}}(u,v) \right) + \left(\sum_{m_{ue}=0} d_{G^{--}}(u,e) + \sum_{m_{ue}=1} d_{G^{--}}(u,e) \right) \\ &\quad + \left(\sum_{m_{ef}=0} d_{G^{--}}(e,f) + \sum_{m_{ef}=1} d_{G^{--}}(e,f) \right) \\ &= \left(\binom{n}{2} - m + 2m \right) + (mn - 2m + 4m) + \left(\binom{m}{2} - \sum_{v \in V(G)} \binom{d_G(v)}{2} + 2 \sum_{v \in V(G)} \binom{d_G(v)}{2} \right) \\ &= \frac{1}{2} \left(m^2 + n^2 + \sum_{v \in V(G)} d_G^2(v) \right) + mn + \frac{3}{2}m - \frac{1}{2}n. \end{aligned}$$

2.3. 直径等于 3

定理 2.3.1: 如果图 G 的边数为 m , 顶点数为 n , 当 $\text{diam}(G^{--}) = 3$ 时, 则具有图 1 四类图中的某一种结构, 且对应的 Wiener 指标分别为

- 1) $W(G^{--}) = \frac{1}{2} \left(m^2 + n^2 + \sum_{v \in V(G)} d_G^2(v) \right) + mn + \frac{3}{2}m - \frac{1}{2}n + 1$
- 2) $W(G^{--}) = \frac{1}{2} \left(m^2 + n^2 + \sum_{v \in V(G)} d_G^2(v) \right) + mn + \frac{3}{2}m - \frac{1}{2}n + 4$
- 3) $W(G^{--}) = \frac{1}{2} \left(m^2 + n^2 + \sum_{v \in V(G)} d_G^2(v) \right) + mn + \frac{3}{2}m - \frac{1}{2}n + 2$
- 4) $W(G^{--}) = \frac{1}{2} \left(m^2 + n^2 + \sum_{v \in V(G)} d_G^2(v) \right) + mn + \frac{3}{2}m - \frac{1}{2}n + 3$

证明: 首先由定理 2.1.1 的证明可以知道, 直径可以达到 3 的变换图 G^{--} 的原图 G 的结构只有图 1 中四种结构。下面分别给出它们的 Wiener 指标。

对于图 1(1), 容易看出图 G^{--} 中距离是 3 的点对只有 u, v 。从而

$$\begin{aligned} W(G^{--}) &= \sum_{u,v} d_{G^{--}}(u,v) + \sum_{u,e} d_{G^{--}}(u,e) + \sum_{e,f} d_{G^{--}}(e,f) \\ &= \left(\sum_{uv \notin E(G)} d_{G^{--}}(u,v) + \sum_{uv \in E(G)} d_{G^{--}}(u,v) \right) + \left(\sum_{m_{ue}=0} d_{G^{--}}(u,e) + \sum_{m_{ue}=1} d_{G^{--}}(u,e) \right) \\ &\quad + \left(\sum_{m_{ef}=0} d_{G^{--}}(e,f) + \sum_{m_{ef}=1} d_{G^{--}}(e,f) \right) \\ &= \left(\binom{n}{2} - m + 2(m-1) + 3 \right) + (mn - 2m + 4m) + \left(\binom{m}{2} - \sum_{v \in V(G)} \binom{d_G(v)}{2} + 2 \sum_{v \in V(G)} \binom{d_G(v)}{2} \right) \\ &= \frac{1}{2} \left(m^2 + n^2 + \sum_{v \in V(G)} d_G^2(v) \right) + mn + \frac{3}{2}m - \frac{1}{2}n + 1. \end{aligned}$$

对于图 1(2), 容易看出图 G^{--} 中距离是 3 的顶点对为 u, v ; u, w ; u, uv 及 u, uw 。从而

$$\begin{aligned} W(G^{--}) &= \sum_{u,v} d_{G^{--}}(u,v) + \sum_{u,e} d_{G^{--}}(u,e) + \sum_{e,f} d_{G^{--}}(e,f) = \left(\sum_{uv \notin E(G)} d_{G^{--}}(u,v) + \sum_{uv \in E(G)} d_{G^{--}}(u,v) \right) \\ &\quad + \left(\sum_{m_{ue}=0} d_{G^{--}}(u,e) + \sum_{m_{ue}=1} d_{G^{--}}(u,e) \right) + \left(\sum_{m_{ef}=0} d_{G^{--}}(e,f) + \sum_{m_{ef}=1} d_{G^{--}}(e,f) \right) \\ &= \left(\binom{n}{2} - m + 2(m-2) + 3 \times 2 \right) + (mn - 2m + 2(2m-2) + 3 \times 2) \\ &\quad + \left(\binom{m}{2} - \sum_{v \in V(G)} \binom{d_G(v)}{2} + 2 \sum_{v \in V(G)} \binom{d_G(v)}{2} \right) \\ &= \frac{1}{2} \left(m^2 + n^2 + \sum_{v \in V(G)} d_G^2(v) \right) + mn + \frac{3}{2}m - \frac{1}{2}n + 4. \end{aligned}$$

对于图 1(3), 容易看出图 G^{--} 中距离是 3 的顶点对为 u, v 和 u, uv 。从而

$$\begin{aligned} W(G^{--}) &= \sum_{u,v} d_{G^{--}}(u,v) + \sum_{u,e} d_{G^{--}}(u,e) + \sum_{e,f} d_{G^{--}}(e,f) \\ &= \left(\sum_{uv \notin E(G)} d_{G^{--}}(u,v) + \sum_{uv \in E(G)} d_{G^{--}}(u,v) \right) \\ &\quad + \left(\sum_{m_{ue}=0} d_{G^{--}}(u,e) + \sum_{m_{ue}=1} d_{G^{--}}(u,e) \right) + \left(\sum_{m_{ef}=0} d_{G^{--}}(e,f) + \sum_{m_{ef}=1} d_{G^{--}}(e,f) \right) \\ &= \left(\binom{n}{2} - m + 2(m-1) + 3 \right) + (mn - 2m + 2(2m-1) + 3) + \left(\binom{m}{2} - \sum_{v \in V(G)} \binom{d_G(v)}{2} + 2 \sum_{v \in V(G)} \binom{d_G(v)}{2} \right) \\ &= \frac{1}{2} \left(m^2 + n^2 + \sum_{v \in V(G)} d_G^2(v) \right) + mn + \frac{3}{2}m - \frac{1}{2}n + 2. \end{aligned}$$

对于图 1(4), 容易看出图 G^{--} 中距离是 3 的顶点对为 u, v ; u, uv 及 v, vu 。从而

$$\begin{aligned}
W(G^{---}) &= \sum_{u,v} d_{G^{---}}(u,v) + \sum_{u,e} d_{G^{---}}(u,e) + \sum_{e,f} d_{G^{---}}(e,f) \\
&= \left(\sum_{uv \notin E(G)} d_{G^{---}}(u,v) + \sum_{uv \in E(G)} d_{G^{---}}(u,v) \right) + \left(\sum_{m_{ue}=0} d_{G^{---}}(u,e) + \sum_{m_{ue}=1} d_{G^{---}}(u,e) \right) \\
&\quad + \left(\sum_{m_{ef}=0} d_{G^{---}}(e,f) + \sum_{m_{ef}=1} d_{G^{---}}(e,f) \right) \\
&= \left(\binom{n}{2} - m + 2(m-1) + 3 \right) + (mn - 2m + 2(2m-2) + 3 \times 2) + \left(\binom{m}{2} - \sum_{v \in V(G)} \binom{d_G(v)}{2} + 2 \sum_{v \in V(G)} \binom{d_G(v)}{2} \right) \\
&= \frac{1}{2} \left(m^2 + n^2 + \sum_{v \in V(G)} d_G^2(v) \right) + mn + \frac{3}{2}m - \frac{1}{2}n + 3.
\end{aligned}$$

参考文献

- [1] Bondy, J.A. and Murty, U.S.R. (1976) Graph Theory with Applications. American Elsevier, New York, Macmillan, London.
- [2] Wiener, H. (1947) Structural Determination of Paraffin Boiling Point. *Journal of the American Chemical Society*, **69**, 17-20. <https://doi.org/10.1021/ja01193a005>
- [3] Entringer, R.C., Jackson, D.E. and Snyder, D.A. (1976) Distance in Graphs. *Czechoslovak Mathematical Journal*, **26**, 283-296.
- [4] Dobrynin, A., Entringer, R. and Gutman, I. (2001) Wiener Index of Trees: Theory and Applications. *Acta Applicandae Mathematica*, **66**, 211-249. <https://doi.org/10.1023/A:1010767517079>
- [5] Wu, B. and Meng, J. (2001) Basic Properties of Total Transformation Graphs. *Journal of Mathematical Study*, **34**, 109-116.
- [6] Wu, B., Zhang, L. and Zhang, Z. (2005) The Transformation Graph G^{xyz} When $xyz = -++$. *Discrete Mathematics*, **296**, 263-270.
- [7] Chen, J. (2006) Super Edge-Connectivity of Two Classes of Transformation Graphs. Doctoral Thesis, Xinjiang University, Urumchi.
- [8] Xu, L. and Wu, B. (2008) Transformation Graph G^{-+-} . *Discrete Mathematics*, **308**, 5144-5148.

知网检索的两种方式:

1. 打开知网页面 <http://kns.cnki.net/kns/brief/result.aspx?dbPrefix=WWJD>
下拉列表框选择: [ISSN], 输入期刊 ISSN: 2324-7991, 即可查询
2. 打开知网首页 <http://cnki.net/>
左侧“国际文献总库”进入, 输入文章标题, 即可查询

投稿请点击: <http://www.hanspub.org/Submission.aspx>

期刊邮箱: aam@hanspub.org